

05;09;12  
 © 1993 г.

## ПРИМЕНЕНИЕ СТРУКТУР ВТСП-СЕГНЕТОЭЛЕКТРИК В ОХЛАЖДАЕМЫХ СВЧ ФАЗОВРАЩАТЕЛЯХ

*И.Б. Вендиқ, Л.Т. Тер-Мартиросян*

Рассматривается возможность создания СВЧ фазовращателей на основе диэлектрической нелинейности титаната стронция с проводящими поверхностями из высокотемпературного сверхпроводника. Проведены оценки коэффициента качества фазовращателя на основе структур ВТСП-сегнетоэлектрик. Сравнение предлагаемого фазовращателя с полупроводниковым и сверхпроводниковым аналогами показывает перспективность сегнетоэлектрического устройства.

### Введение

С начала 60-х годов внимание исследователей привлекали нелинейные диэлектрики как основа для создания широкого спектра СВЧ приборов с электрическим управлением [1]; диэлектрическая приемлемость таких материалов зависит от приложенного к материалу электрического поля. В последующие годы основное внимание уделялось сегнетоэлектрическим фазовращателям (ФВ) с электрическим управлением на частотах 10...100 ГГц [2-4].

Сегнетоэлектрические ФВ отличаются высоким быстродействием, высокой радиационной стойкостью, простотой реализации в интегральном исполнении [1,4]. Эти качества делают сегнетоэлектрические ФВ весьма привлекательными для реализации фазированных антенных решеток (ФАР) с большим числом элементов, при этом к ФВ предъявляются обычно дополнительные требования: низкое потребление энергии в цепях управления и (для приемных ФАР) низкий коэффициент шума.

До настоящего времени все разработки сегнетоэлектрических ФВ были ориентированы на их работу при температуре  $\sim 300$  К. При этом условии практически единственным материалом, обладающим относительно низкими потерями в диапазоне СВЧ при достаточной диэлектрической нелинейности, является твердый раствор (Ba, Sr)TiO<sub>3</sub>.

Базовыми элементами сегнетоэлектрических СВЧ устройств являются трехслойная структура электрод-сегнетоэлектрик-электрод, представляющая собой плоский конденсатор либо несимметричную микрополосковую линию, и двухслойная структура, образованная двумя электродами, нанесенными на слой сегнетоэлектрика и разделенными узким

( $\sim 1$  мкм) зазором, представляющая собой планарный конденсатор либо щелевую линию [1]. При этом в СВЧ устройствах используются тонкие ( $\sim 1$  мкм) сегнетоэлектрические слои, нанесенные на подложку.

Все реализованные пленки (Ba, Sr)TiO<sub>3</sub> и устройства на их основе отличались слишком большими потерями, так что ФВ на таких пленках не могли конкурировать с полупроводниковыми аналогами.

Открытие высокотемпературной сверхпроводимости привело к созданию сверхпроводниковых материалов, работающих при температуре кипения жидкого азота ( $\sim 77$  К) и обеспечивающих в диапазоне СВЧ приблизительно на порядок меньшие потери, чем при использовании нормальных металлов [5]. Появилось новое самостоятельное направление — электроника азотного уровня температур [6]. Достижения в области оксидных сверхпроводниковых пленок вызывают новый интерес к сегнетоэлектрическим эпитаксиальным слоям.

Реализация СВЧ устройств, работающих при температуре кипения жидкого азота, позволяет использовать в сегнетоэлектрических ФВ низкотемпературные сегнетоэлектрики, отличающиеся низкими потерями в диапазоне СВЧ. Здесь прежде всего следует упомянуть достаточно хорошо изученный титанат стронция SrTiO<sub>3</sub>. Кроме того, преимущества охлаждаемых сегнетоэлектрических СВЧ устройств, использующих структуры ВТСП-сегнетоэлектрик при температуре кипения жидкого азота, определяются следующими факторами: снижение приблизительно на порядок потерь в проводящих поверхностях [5]; снижение потерь в сегнетоэлектрике за счет уменьшения областей, занимаемых объемным зарядом [7]; обеспечение термостабилизации.

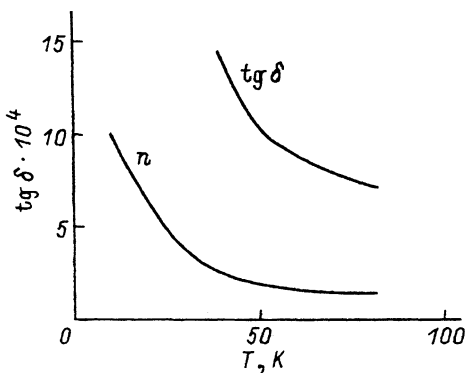
Таким образом, создание ФВ на основе титаната стронция с проводящими поверхностями из ВТСП открывает новые горизонты в технике СВЧ [8].

Целью настоящей работы является оценка потенциальных возможностей охлаждаемых сегнетоэлектрических ФВ СВЧ на основе структур высокотемпературный сверхпроводник YBa<sub>2</sub>Cu<sub>3</sub>O<sub>7-δ</sub>-титанат стронция SrTiO<sub>3</sub>.

### Эффективность управления фазой электромагнитной волны в сегнетоэлектрическом слое

Будем полагать, что основу ФВ составляют структуры, состоящие из высококачественных монокристаллических эпитаксиальных слоев сверхпроводника YBa<sub>2</sub>Cu<sub>3</sub>O<sub>7-δ</sub> и сегнетоэлектрика SrTiO<sub>3</sub> с резкой границей между ними.

Монокристаллы титаната стронция при 77 К отличаются весьма низкими потерями в диапазоне СВЧ [9] при значительной диэлектрической нелинейности [10]. К сожалению, надежные данные о диэлектрической нелинейности кристаллов титаната стронция в температурном интервале 40...80 К в литературе отсутствуют. С помощью известных экспериментальных данных [10] можно оценить значения отношения диэлектрической проницаемости титаната стронция при отсутствии поля смещения  $\epsilon_{max} = \epsilon(0)$  и в поле напряженностью  $2.5 \cdot 10^6$  В/м (управляемость)



Температурные зависимости  $\operatorname{tg} \delta$  на частоте 10 ГГц и управляемости  $n$  монокристаллического титаната стронция [9,10].

$n = \epsilon(0)/\epsilon$  ( $2.5 \cdot 10^6$  В/м)<sup>1</sup> в интервале 40...80 К (см. рисунок). Тангенс угла диэлектрических потерь монокристаллического титаната стронция в диапазоне СВЧ (см. рисунок) прямо пропорционален частоте, а дисперсия диэлектрической проницаемости практически отсутствует вплоть до 100 ГГц [3,9].

Рассмотрим случай  $TEM$ -волны, распространяющейся в диэлектрической среде. При этом мы пока не будем учитывать потери, вносимые электродами, необходимыми для канализации волны и обеспечения управления фазой волны изменением поля смещения.

Затухание электромагнитной волны на единицу длины в диэлектрической среде с потерями, характеризуемыми  $\operatorname{tg} \delta$ , определяется выражением

$$\alpha = 27.3 \frac{\sqrt{\epsilon}}{\lambda_0} \operatorname{tg} \delta, \quad (1)$$

где  $\epsilon$  — диэлектрическая проницаемость среды,  $\lambda_0$  — длина волны в вакууме.

Под действием поля смещения диэлектрическая проницаемость материала уменьшается, при этом возможен некоторый рост  $\operatorname{tg} \delta$  [1]. Для упрощения будем считать, что затухание  $\alpha$  не зависит от напряженности поля смещения.

Изменение диэлектрической проницаемости среды приводит также к изменению длины волны и, следовательно, к изменению набега фазы на заданной длине; этот управляемый фазовый сдвиг  $\Delta\varphi$  и является полезным эффектом. При уменьшении диэлектрической проницаемости от  $\epsilon_{\max}$  до  $\epsilon_{\max}/n$  фазовый сдвиг  $\Delta\varphi$  на длине  $L$  равен

$$\Delta\varphi = \frac{2\pi L}{\lambda_0} \sqrt{\epsilon_{\max}} \cdot \left(1 - \frac{1}{\sqrt{n}}\right). \quad (2)$$

Рассмотренный случай распространения электромагнитной волны в однородной среде близок к реализуемым на практике щелевым или копланарным линиям на поверхности тонкого слоя сегнетоэлектрика с высокой диэлектрической проницаемостью, нанесенного на диэлектрическую

<sup>1</sup> Увеличение напряженности поля смещения выше  $2.5 \cdot 10^6$  В/м приведет к некоторому дополнительному снижению диэлектрической проницаемости, т.е. к увеличению  $n$ .

T, K	Коэффициент качества, M	
	10 ГГц	100 ГГц
40	$4.6 \cdot 10^5$	4600
50	$4.2 \cdot 10^5$	4200
60	$3.2 \cdot 10^5$	3200
70	$3.1 \cdot 10^5$	3100
80	$3.0 \cdot 10^5$	3000

подложку с низкой проницаемостью [1]; толщина слоя сегнетоэлектрика по порядку величины должна соответствовать ширине зазора между электродами. На частотах ниже 10 ГГц целесообразно использовать со средоточенные элементы — планарные конденсаторы на основе пленки сегнетоэлектрика [1].

Для оценки эффективности управления фазой отрезком линии с сегнетоэлектрическим слоем используем параметр  $Q$ , называемый добротностью управляющего элемента и определяемый как отношение фазового сдвига к величине средних потерь в децибелах на длине  $L$  [11]

$$Q = \frac{\Delta\varphi}{\alpha_{cp}}. \quad (3)$$

Здесь  $\Delta\varphi$  определяется выражением (2), а средние потери в соответствии с (1)

$$\alpha_{cp} = 27.3 \sqrt{\operatorname{tg}\delta_1 \cdot \operatorname{tg}\delta_2 \sqrt{\frac{\epsilon_{max}^2}{n}} \frac{L}{\lambda_0}}, \quad (4)$$

где значения  $\operatorname{tg}\delta_1$  и  $\operatorname{tg}\delta_2$  соответствуют отсутствию поля смещения и максимальному полю.

Другим универсальным параметром, который принято использовать для количественной оценки управляющих свойств элементов СВЧ микросхем, является коммутационное качество  $M$  [12]. Для ФВ на сегнетоэлектрике коэффициент качества определяется выражением [3,11]

$$M = \frac{(n-1)^2}{n \cdot \operatorname{tg}\delta_1 \cdot \operatorname{tg}\delta_2}. \quad (5)$$

Сопоставляя выражения (2)–(5), получаем соотношение между добротностью и коэффициентом качества, которое при  $1.1 \leq n \leq 3$  описывается простым соотношением

$$M \approx 75Q^2. \quad (6)$$

Пренебрегая небольшим увеличением  $\operatorname{tg}\delta$  при наличии поля смещения и используя данные, приведенные на рисунке, легко по формуле (5) рассчитать значения коэффициента качества ФВ на основе титаната стронция на частотах 10 и 100 ГГц в интервале температур 40...80 К (см. таблицу). При этом средние потери, вносимые нелинейным диэлектриком при изменении фазы на  $360^\circ$ , составляют на частоте 10 ГГц  $\alpha_{cp} \approx 0.1$  дБ, а на частоте 100 ГГц  $\approx 1$  дБ.

Конструктивным параметром ФВ является длина линии, по которой распространяется электромагнитная волна. Длина пути электромагнитной волны, необходимая для обеспечения управляемого фазового сдвига, равного  $360^\circ$ , в соответствии с (2) определяется выражением

$$L(2\pi) = \lambda_0 \left[ \sqrt{\varepsilon_{\max}} \left( 1 - \frac{1}{\sqrt{n}} \right) \right]^{-1} \quad (7)$$

и составляет  $(0.04 \dots 0.09) \lambda_0$ .

### Затухание, вносимое электродами

В реальной конструкции ФВ всегда присутствуют электроды, формирующие линию передачи и обеспечивающие приложение к сегнетоэлектрику поля смещения для управления фазой электромагнитной волны [1]. Наличие металлических электродов, в особенности когда они расположены на диэлектрическом материале с весьма большой проницаемостью, приводит к появлению дополнительных потерь в устройстве.

Расчетная оценка затухания, обусловленного электродами, затруднена необходимостью учета большого количества плохо контролируемых факторов, связанных с технологией сегнетоэлектрических и проводниковых слоев, с конфигурацией электродов и т.п.

Исходя из имеющегося опыта [1], можно предполагать, что электроды из нормального металла в сегнетоэлектрическом ФВ могут вносить затухание до нескольких децибелл на  $360^\circ$  фазового сдвига на частоте 100 ГГц.

Электроды из ВТСП  $\text{YBa}_2\text{Cu}_3\text{O}_{7-\delta}$  обеспечат снижение потерь при рабочей температуре ФВ меньше критической температуры  $T_c$  (для  $\text{YBa}_2\text{Cu}_3\text{O}_{7-\delta}$   $T_c \approx 91$  К). Имеются основания ожидать, что затухание, вносимое сверхпроводящими электродами ФВ на частоте 100 ГГц, можно снизить до 2...3 дБ на  $360^\circ$  фазового сдвига. При этом добротность уменьшится в 2...3 раза, а коэффициент качества в соответствии с (6) уменьшится в 4...10 раз по сравнению с оценками, приведенными в таблице.

Влияние электродов проявляется также в том, что в случае электродов из нормального металла в титанате стронция образуются области с объемным зарядом [13], поле которого снижает эффективную диэлектрическую нелинейность структуры и вызывает повышение диэлектрических потерь в сегнетоэлектрике (за счет наведенного пьезоэффекта). Свидетельством наличия объемного заряда является несимметричность вольт-фарадной характеристики емкостной структуры [13, 14].

Как следует из экспериментальных данных [7], применение в качестве электродов ВТСП  $\text{YBa}_2\text{Cu}_3\text{O}_{7-\delta}$  предотвращает образование объемного заряда в титанате стронция; при этом СВЧ потери в сегнетоэлектрике должны уменьшиться.

Таким образом, имеются основания предполагать, что затухание на  $360^\circ$  фазового сдвига в ФВ на основе монокристаллических эпитаксиальных структур  $\text{YBa}_2\text{Cu}_3\text{O}_{7-\delta}-\text{SrTiO}_3$  не будут превышать 3...4 дБ на частоте 100 ГГц, соответственно коэффициент качества будет лежать в пределах  $10^2 \dots 10^3$ .

## Сравнение ФВ на сегнетоэлектрике с ФВ других типов

Проведем сравнение обсуждаемого сегнетоэлектрического ФВ с ФВ, основанными на других принципах, по эффективности управления фазой и по быстродействию.

В настоящее время наибольшее распространение получили полупроводниковые ФВ. Коэффициент качества полупроводникового  $p-i-n$ -диода — основного элемента современных интегральных схем ФВ составляет  $\sim 10^4$  на частоте 10 ГГц и уменьшается с ростом частоты; на частоте 100 ГГц коэффициент качества диода  $10^2 \dots 10^3$ . Приведенные выше оценки показывают, что ФВ на основе монокристаллических эпитаксиальных структур  $\text{YBa}_2\text{Cu}_3\text{O}_{7-\delta}\text{-SrTiO}_3$  характеризуется коэффициентом качества того же порядка. Однако ФВ на  $p-i-n$ -диодах уступает сегнетоэлектрическому ФВ по быстродействию, поскольку время переключения диода определяется временем рассасывания неосновных носителей заряда в  $i$ -области; у современных  $p-i-n$ -диодов время переключения порядка  $10^7 \dots 10^8$  с [15], в то время как у сегнетоэлектрических ФВ время переключения не более  $10^{-9} \dots 10^{-10}$  с [1].

Не уступает по быстродействию сегнетоэлектрическому ФВ предложенный недавно охлаждаемый дискретный ФВ, управляющим элементом которого служит ВТСП ключ, выполненный в виде сосредоточенного элемента в форме меандра [16]. Под влиянием внешнего воздействия в виде управляющего тока (постоянного или импульсного) ключ переходит из сверхпроводящего в нормальное состояние, при этом его сопротивление резко возрастает. Длительность перехода не превышает  $10^{-10}$  с [17]. Оценка коэффициента качества такого ключа на основе пленки  $\text{YBa}_2\text{Cu}_3\text{O}_{7-\delta}$  дает значение  $10^3 \dots 10^4$  на частоте 60 ГГц при температуре, вдвое меньше критической [18]. Успехи в технологии пленок ВТСП привели к значительному снижению их поверхностного сопротивления на СВЧ в сверхпроводящем состоянии [5], что соответствует увеличению коэффициента качества ключа в несколько раз. Таким образом, ФВ на сверхпроводниковых ключах может обеспечить те же значения параметров, что и сегнетоэлектрический ФВ. Эти два типа ФВ могут дополнять друг друга в охлаждаемых интегральных схемах СВЧ.

## Проблемы технологий

Технология нанесения сегнетоэлектрических пленок и пленок ВТСП на диэлектрическую подложку, в том числе с использованием так называемого буферного слоя, предотвращающего взаимную диффузию атомов пленки и подложки, к настоящему времени в достаточной степени отработана.

Вместе с тем еще очень слабо изучены процессы, происходящие в подслое при нанесении на него верхнего слоя; эти процессы играют важнейшую роль при реализации многослойных структур. Так, нанесение пленки ВТСП на титанат стронция изменяет в последнем свойства приповерхностного слоя [7]; нанесение пленки сегнетоэлектрика на слой ВТСП также изменяет свойства приповерхностного слоя в сверхпроводнике [19]. Следовательно, двух- и трехслойные структуры, содержащие сегнетоэлектрические и сверхпроводниковые слои, реально будут состоять из

большого числа слоев вследствие образования переходных слоев, свойства которых отличаются в худшую сторону от свойств сегнетоэлектрика и ВТСП в объемных образцах.

Целью ближайших исследований, посвященных созданию СВЧ ФВ на основе структур ВТСП-титанат стронция, должно быть выяснение процессов, связанных с образованием этих переходных слоев, и на этой основе разработка технологии, исключающей их образование либо обеспечивающей малую их толщину, чтобы наличие этих переходных слоев не оказывалось заметным образом на параметрах устройства.

Настоящая работа включена в программу "Высокотемпературная сверхпроводимость", проект № 90475.

### Список литературы

- [1] Сегнетоэлектрики в технике СВЧ // Под ред. О.Г. Вендики. М.: Сов. радио, 1979. 272 с.
- [2] Вендикик О.Г., Мироненко И.Г., Тер-Мартиросян Л.Т. // Изв. вузов. Физика, 1981. № 5. С. 39–52.
- [3] Вендикик О.Г., Мироненко И.Г., Тер-Мартиросян Л.Т. // Изв. АН СССР. Сер. физ. 1987. Т. 51. № 10. С. 1748–1752.
- [4] Varadan V.K., Ghodgaonkar D.K., Varadan V.V. et al. // Microwave J. 1992. Vol. 35. N 1. P. 116–125.
- [5] Piel H., Müller G. // IEEE Trans. on Magn. 1991. Vol. 27. N 2. P. 854–863.
- [6] Вендикик О.Г., Козырев А.Б., Самойлова Т.Б., Попов А.Ю. // Высокотемпературная сверхпроводимость. Фундаментальные и прикладные исследования. Л.: Машиностроение, 1990. С. 7–60.
- [7] Борисовский К.Е., Дедык А.И., Плоткина Н.В., Тер-Мартиросян Л.Т. // СФХТ. 1992. Т. 5. № 4. С. 762–765.
- [8] Wendik O.G., Ter-Martirosyan L.T., Dedyk A.I. et al. // Ferroelectrics. 1992. (to be published).
- [9] Bethe K. // Philips Res. Repts. Suppl. 1970. N 2. 146 p.
- [10] Sawaguchi E., Kikuchi A., Kodera J. // J. Phys. Soc. Jap. 1962. Vol. 17. N 10. P. 1666–1667.
- [11] Барский И.В., Вендикик О.Г., Хижса Г.С. // Изв. ЛЭТИ. Вып. 375. Л., 1986. С. 3–6.
- [12] Хижса Г.С., Вендикик И.Б., Серебрякова Е.А. СВЧ фазовращатели и переключатели. М.: Радио и связь, 1984. 184 с.
- [13] Вендикик О.Г., Дедык А.И., Дмитриева Р.В. и др. // ФТТ. 1984. Т. 26. Вып. 3. С. 684–689.
- [14] Hirano T., Uedo M., Matsui K. et al. // Jap. J. Appl. Phys. 1992. Vol. 31. Pt 2. N 9B. P. L1345–L1347.
- [15] Microwave J. 1992. Vol. 35. N 5. P. 225.
- [16] Vendik I.B., Kaparkov D.I., Karmanenko S.F. et al. // Proc. 22 EuMC. Microwave Exhibition and Publishers. 1992. Vol. 2. P. 1337–1341.
- [17] Chaloupka H., Jeck M., Kolesov S., Vendik O.G. // Proc. 22 EuMC. Microwave Exhibition and Publishers. 1992. Vol. 1. P. 189–194.
- [18] Vendik O.G., Gaidukov M.M., Kolesov S.G., Kozyrev A.B., Popov A.Yu. Proc. 21 EuMC. Microwave Exhibition and Publishers. 1991. Vol. 1. P. 72–92.
- [19] Куприянов М.Ю., Лихарев К.К. // УФН. 1990. Т. 160. № 5. С. 49–87.

Санкт-Петербургский государственный  
электротехнический университет

Поступило в Редакцию  
11 февраля 1993 г.